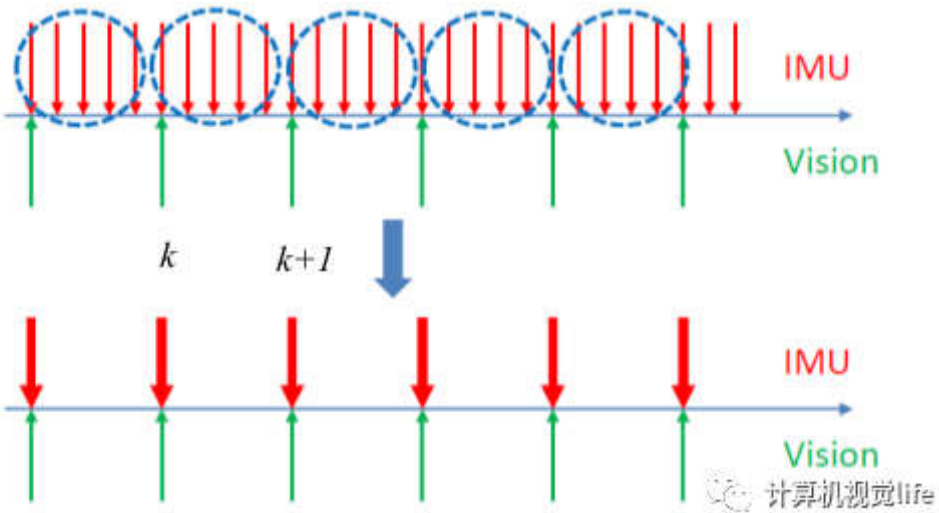


VINS 中的 IMU 预积分推导和代码解读

VIO 中,如果在世界坐标系中对 IMU 进行积分,积分项中包含体坐标系相对于世界坐标系的瞬时旋转矩阵。然而,在优化位姿时,关键帧时刻体坐标系相对于世界坐标系的旋转矩阵会发生变化,那么需要对 IMU 重新进行积分。预积分就是为了避免这种重复积分。IMU 预积分将参考坐标系改为前一帧的体坐标系,从而积出了两帧之间的相对运动。

预积分

将第 k 帧和第 $k+1$ 帧之间的所有 IMU 进行积分,可得第 $k+1$ 帧的位置、速度和旋转(PVQ),作为视觉估计的初始值,示意图如下:



从 IMU 获取body坐标系下的加速度计测量信息 $\hat{\mathbf{a}}^b$ 和陀螺仪测量信息 $\hat{\omega}^b$:

$$\begin{aligned}\hat{\omega}^b &= \omega^b + \mathbf{b}^g + \mathbf{n}^g \\ \hat{\mathbf{a}}^b &= \mathbf{a}^b + \mathbf{q}_w^b \mathbf{g}^w + \mathbf{b}^a + \mathbf{n}^a\end{aligned}\quad (1)$$

上式中, ω^b 、 \mathbf{a}^b 为加速度计和陀螺仪的真值, \mathbf{b}^g 、 \mathbf{n}^g 为陀螺仪的偏置和噪声, \mathbf{b}^a 、 \mathbf{n}^a 为加速的计的偏置的噪声, \mathbf{q}_w^b 为世界坐标系到body坐标系的旋转四元数, \mathbf{g}^w 为世界坐标系下的重力, 其符号的正负视坐标系而定; 上标 g 表示 gyro, a 表示 acc, w 表示在世界坐标系 world, b 表示imu 机体坐标系 body。

假设噪声 \mathbf{n}^g 、 \mathbf{n}^a 服从高斯分布:

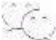
$$\begin{aligned}\mathbf{n}^g &\sim N(0, \sigma_g^2) \\ \mathbf{n}^a &\sim N(0, \sigma_a^2)\end{aligned}\quad (2)$$

加速度偏置 \mathbf{n}^a 和陀螺仪偏置 \mathbf{b}^g 被建模为随机游走, 其导数为高斯性的, :

$$\begin{aligned}\dot{\mathbf{b}}^g &= \mathbf{n}_b^g \\ \dot{\mathbf{b}}^a &= \mathbf{n}_b^a\end{aligned}\quad (3)$$

PVQ对时间的导数可写成:

$$\begin{aligned}\dot{\mathbf{P}}_{b_t}^w &= \mathbf{v}_t^w \\ \dot{\mathbf{v}}_t^w &= \mathbf{a}_t^w \\ \dot{\mathbf{q}}_{b_t}^w &= \mathbf{q}_{b_t}^w \otimes \begin{bmatrix} 0 \\ \frac{1}{2}\omega_{b_t} \end{bmatrix}\end{aligned}\quad (4)$$

 计算机视觉life

(点击图片放大看公式)

连续形式

对于连续两个关键帧 b_k 和 b_{k+1} ，它们对应的时刻分别为 t_k 、 t_{k+1} ，从第 t_k 时刻的 PVQ 对 IMU 的测量值进行积分得到第 t_{k+1} 时刻的 PVQ：

$$\begin{aligned} \mathbf{p}_{b_{k+1}}^w &= \mathbf{p}_{b_k}^w + \mathbf{v}_t^w \Delta t + \iint_{t \in [t_k, t_{k+1}]} (\mathbf{q}_{b_t}^w (\hat{\mathbf{a}}^{b_t} - \mathbf{b}_t^a) - \mathbf{g}^w) \delta t^2 \\ \mathbf{v}_{b_{k+1}}^w &= \mathbf{v}_{b_k}^w + \int_{t \in [t_k, t_{k+1}]} (\mathbf{q}_{b_t}^w (\hat{\mathbf{a}}^{b_t} - \mathbf{b}_t^a) - \mathbf{g}^w) \delta t \\ \mathbf{q}_{b_{k+1}}^w &= \int_{t \in [t_k, t_{k+1}]} \mathbf{q}_{b_t}^w \otimes \begin{bmatrix} 0 \\ \frac{1}{2}(\omega^{b_t} - \mathbf{b}_t^g) \end{bmatrix} \delta t \end{aligned} \quad (5)$$

观察上式，再回到文章的最开始所述：此时积分项中包含体坐标系相对于世界坐标系的瞬时旋转矩阵，而在优化的过程中，关键帧相对于世界坐标系的位姿会发生变化，那么公式(5)则需要重新积分，为避免重复积分，我们可以将关键帧到世界坐标系的变换通过公式(6)进行转换，使积分项则变成相对于第 k 时刻的姿态，而不是相对于世界坐标系的姿态：

$$\mathbf{q}_{b_t}^w = \mathbf{q}_{b_k}^w \otimes \mathbf{q}_{b_t}^{b_k} \quad (6)$$

代入公式(5)得：

$$\begin{aligned} \mathbf{p}_{b_{k+1}}^w &= \mathbf{p}_{b_k}^w + \mathbf{v}_t^w \Delta t - \frac{1}{2} \mathbf{g}^w \Delta t^2 + \mathbf{q}_{b_k}^w \iint_{t \in [t_k, t_{k+1}]} (\mathbf{q}_{b_t}^{b_k} (\hat{\mathbf{a}}^{b_t} - \mathbf{b}_t^a)) \delta t^2 \\ \mathbf{v}_{b_{k+1}}^w &= \mathbf{v}_{b_k}^w - \mathbf{g}^w \Delta t + \mathbf{q}_{b_k}^w \int_{t \in [t_k, t_{k+1}]} (\mathbf{q}_{b_t}^{b_k} (\hat{\mathbf{a}}^{b_t} - \mathbf{b}_t^a)) \delta t \\ \mathbf{q}_{b_{k+1}}^w &= \mathbf{q}_{b_k}^w \int_{t \in [t_k, t_{k+1}]} \mathbf{q}_{b_t}^{b_k} \otimes \begin{bmatrix} 0 \\ \frac{1}{2}(\omega^{b_t} - \mathbf{b}_t^g) \end{bmatrix} \delta t \end{aligned} \quad (7)$$

公式(7)中的积分项中的参考坐标系变成了 b_k ，积分结果为 b_{k+1} 对于 b_k 的相对运动量，这样可以在优化过程中即使对关键帧的位置、速度和旋转等状态进行调整，也不对积分项产生任何影响，从而避免了重复积分。

进一步整理：

$$\begin{aligned} \alpha_{b_{k+1}}^{b_k} &= \iint_{t \in [t_k, t_{k+1}]} (\mathbf{q}_{b_t}^{b_k} (\hat{\mathbf{a}}^{b_t} - \mathbf{b}_t^a)) \delta t^2 \\ \beta_{b_{k+1}}^{b_k} &= \int_{t \in [t_k, t_{k+1}]} (\mathbf{q}_{b_t}^{b_k} (\hat{\mathbf{a}}^{b_t} - \mathbf{b}_t^a)) \delta t \\ \mathbf{q}_{b_{k+1}}^{b_k} &= \int_{t \in [t_k, t_{k+1}]} \mathbf{q}_{b_t}^{b_k} \otimes \begin{bmatrix} 0 \\ \frac{1}{2}(\omega^{b_t} - \mathbf{b}_t^g) \end{bmatrix} \delta t \end{aligned} \quad (8)$$

从公式(8)可知，预积分量不仅跟 IMU 测量值有关，还与 IMU 的偏置是相关的，而偏置也是我们需要优化的变量，我们假设短时间内 IMU 的偏置是不变的，重新整理 PVQ 公式，有：

$$\begin{bmatrix} \mathbf{p}_{k+1}^w \\ \mathbf{v}_{k+1}^w \\ \mathbf{q}_{k+1}^w \\ \mathbf{b}_{k+1}^a \\ \mathbf{b}_{k+1}^g \end{bmatrix} = \begin{bmatrix} \mathbf{p}_{b_k}^w + \mathbf{v}_t^w \Delta t - \frac{1}{2} \mathbf{g}^w \Delta t^2 + \mathbf{q}_{b_k}^w \alpha_{b_{k+1}}^{b_k} \\ \mathbf{v}_{b_k}^w - \mathbf{g}^w \Delta t + \mathbf{q}_{b_k}^w \beta_{b_{k+1}}^{b_k} \\ \mathbf{q}_{b_k}^w \otimes \mathbf{q}_{b_{k+1}}^{b_k} \\ \mathbf{b}_k^a \\ \mathbf{b}_k^g \end{bmatrix} \quad (9)$$

一段时间内 IMU 构建的预积分量作为测量值，对两时刻之间的状态量进行约束，得到预计分误差：

$$\begin{bmatrix} \mathbf{r}_p \\ \mathbf{r}_v \\ \mathbf{r}_q \\ \mathbf{r}_{b^a} \\ \mathbf{r}_{b^g} \end{bmatrix}_{15 \times 1} = \begin{bmatrix} \mathbf{q}_{b_k}^{b_k} (\mathbf{p}_{k+1}^w - \mathbf{p}_{b_k}^w - \mathbf{v}_t^w \Delta t + \frac{1}{2} \mathbf{g}^w \Delta t^2) - \alpha_{b_{k+1}}^{b_k} \\ \mathbf{q}_{b_k}^{b_k} (\mathbf{v}_{b_{k+1}}^w - \mathbf{v}_{b_k}^w + \mathbf{g}^w \Delta t) - \beta_{b_{k+1}}^{b_k} \\ 2(\mathbf{q}_{b_k}^{b_{k+1}} \otimes \mathbf{q}_{b_k}^{b_k} \otimes \mathbf{q}_{b_{k+1}}^w)_{xyz} \\ \mathbf{b}_{k+1}^a - \mathbf{b}_k^a \\ \mathbf{b}_{k+1}^g - \mathbf{b}_k^g \end{bmatrix} \quad (10)$$

上面误差中位移、速度、偏置都是直接相减得到。关于四元数的旋转误差，其中 $[\cdot]_{xyz}$ 表示取四元数的虚部 (x, y, z) 组成的三维向量。

离散形式

离散形式的有两种方法：欧拉法和中值法，作者论文中采用的欧拉法，代码实践中采用的是中值法，本文主要是对代码的解读，为与代码对应，所以只对中值法进行介绍。

PVQ模型

在开始时， $\alpha_{b_k}^{b_k}$ 、 $\beta_{b_k}^{b_k}$ 是0， $\mathbf{q}_{b_k}^{b_k}$ 是单位四元数， α 、 β 、 \mathbf{q} 在公式（8）是逐步传递的。另外，增加的噪声项 \mathbf{n}^a 、 \mathbf{n}^g 是未知的，在实现中被视为零，中值积分采用两个相邻时刻 k 到 $k+1$ 的位姿是用两个时刻的测量值 \mathbf{a} 、 ω 的平均值来计算，那么，可得PVQ公式：

$$\begin{aligned} \bar{\omega} &= \frac{1}{2} ((\omega^{b_k} - \mathbf{b}_k^g) + (\omega^{b_{k+1}} - \mathbf{b}_k^g)) \\ \mathbf{q}_{b_{k+1}}^{b_i} &= \mathbf{q}_{b_k}^{b_i} \otimes \left[\frac{1}{2} \bar{\omega} \delta t \right] \\ \bar{\mathbf{a}} &= \frac{1}{2} (\mathbf{q}_{b_k}^{b_i} (\mathbf{a}^{b_k} - \mathbf{b}_k^a) + \mathbf{q}_{b_{k+1}}^{b_i} (\mathbf{a}^{b_{k+1}} - \mathbf{b}_k^a)) \\ \alpha_{b_{k+1}}^{b_i} &= \alpha_{b_k}^{b_i} + \beta_{b_k}^{b_i} \delta t + \frac{1}{2} \bar{\mathbf{a}} \delta t^2 \\ \beta_{b_{k+1}}^{b_i} &= \beta_{b_k}^{b_i} + \bar{\mathbf{a}} \delta t \\ \mathbf{b}_{k+1}^a &= \mathbf{b}_k^a + \mathbf{n}_{b_k}^a \delta t \\ \mathbf{b}_{k+1}^g &= \mathbf{b}_k^g + \mathbf{n}_{b_k}^g \delta t \end{aligned} \quad (11)$$

其中， i 是在 $[t_k, t_{k+1}]$ 中IMU测量值对应的离散时刻， δt 是IMU测量值 k 和 $k+1$ 之间的时间间隔。

对应代码如下：

//采用的是中值积分的传播方式

```
Vector3d un_gyr = 0.5 * (gyr_0 + angular_velocity) - Bgs[j];
Rs[j] *= Utility::deltaQ(un_gyr * dt).toRotationMatrix();
Vector3d un_acc_1 = Rs[j] * (linear_acceleration - Bas[j]) - g;
Vector3d un_acc = 0.5 * (un_acc_0 + un_acc_1);
Ps[j] += dt * Vs[j] + 0.5 * dt * dt * un_acc;
Vs[j] += dt * un_acc;
```

(左右滑动试试)

误差传播

下面，考虑离散形式下的误差传递过程，令状态量为 $\mathbf{x} = \hat{\mathbf{x}} + \delta\mathbf{x}$ ，其中，真值为 $\hat{\mathbf{x}}$ ，误差为 $\delta\mathbf{x}$ ，另外，输入量 \mathbf{u} 的噪声为 \mathbf{n} ，对非线性系统状态方程 $\mathbf{x}_{k+1} = f(\mathbf{x}_k, \mathbf{u}_k)$ 进行一阶泰勒展开有：

$$\begin{aligned}\mathbf{x}_{k+1} &= f(\mathbf{x}_k, \mathbf{u}_k) \\ \hat{\mathbf{x}}_{k+1} + \delta\mathbf{x}_{k+1} &= f(\hat{\mathbf{x}}_k + \delta\mathbf{x}_k, \hat{\mathbf{u}}_k + \mathbf{n}_k) \\ \hat{\mathbf{x}}_{k+1} + \delta\mathbf{x}_{k+1} &= f(\hat{\mathbf{x}}_k, \hat{\mathbf{u}}_k) + \mathbf{F}\delta\mathbf{x}_k + \mathbf{V}\mathbf{n}_k\end{aligned}\quad (12)$$

得：


$$\delta\mathbf{x}_{k+1} = \mathbf{F}\delta\mathbf{x}_k + \mathbf{V}\mathbf{n}_k \quad (13)$$

其中， \mathbf{F} 是状态量 \mathbf{x}_{k+1} 对状态量 \mathbf{x}_k 的雅克比矩阵， \mathbf{V} 是状态量 \mathbf{x}_{k+1} 对输入量 \mathbf{u}_k 的雅克比矩阵。

根据公式(11)，将测量噪声考虑进来，更改PVQ模型为：

$$\begin{aligned}\bar{\omega} &= \frac{1}{2}((\omega^{b_k} + \mathbf{n}_k^g - \mathbf{b}_k^g) + (\omega^{b_{k+1}} + \mathbf{n}_{k+1}^g - \mathbf{b}_k^g)) \\ \mathbf{q}_{b_{k+1}}^{b_i} &= \mathbf{q}_{b_k}^{b_i} \otimes \begin{bmatrix} 1 \\ \frac{1}{2}\bar{\omega}\delta t \end{bmatrix} \\ \bar{\mathbf{a}} &= \frac{1}{2}(\mathbf{q}_{b_k}^{b_i}(\mathbf{a}^{b_k} + \mathbf{n}_{k+1}^a - \mathbf{b}_k^a) + \mathbf{q}_{b_{k+1}}^{b_i}(\mathbf{a}^{b_{k+1}} + \mathbf{n}_{k+1}^a - \mathbf{b}_k^a)) \\ \alpha_{b_{k+1}}^{b_i} &= \alpha_{b_k}^{b_i} + \beta_{b_k}^{b_i}\delta t + \frac{1}{2}\bar{\mathbf{a}}\delta t^2 \\ \beta_{b_{k+1}}^{b_i} &= \beta_{b_k}^{b_i} + \bar{\mathbf{a}}\delta t \\ \mathbf{b}_{k+1}^a &= \mathbf{b}_k^a + \mathbf{n}_{b_k}^a\delta t \\ \mathbf{b}_{k+1}^g &= \mathbf{b}_k^g + \mathbf{n}_{b_k}^g\delta t\end{aligned}\quad (14)$$

VIO系统中 t_{k+1} 时刻的状态量 $\mathbf{q}_{b_{k+1}}^{b_i}, \alpha_{b_{k+1}}^{b_i}, \beta_{b_{k+1}}^{b_i}, \mathbf{b}_{k+1}^a, \mathbf{b}_{k+1}^g$ 误差来源主要是 t_k 时刻的状态量 $\mathbf{q}_{b_k}^{b_i}, \alpha_{b_k}^{b_i}, \beta_{b_k}^{b_i}, \mathbf{b}_k^a, \mathbf{b}_k^g$ 的误差的传播， t_k, t_{k+1} 时刻加速度测量值和角速度测量值的高斯白噪声，以及加速度和角速度随机游走bias的高斯白噪声。

 计算机视觉life

由公式(13)、(14)得 t_{k+1} 误差有：

$$\begin{bmatrix} \delta\alpha_{b_{k+1}} \\ \delta\theta_{b_{k+1}} \\ \delta\beta_{b_{k+1}} \\ \delta\mathbf{b}_{k+1}^a \\ \delta\mathbf{b}_{k+1}^g \end{bmatrix} = \mathbf{F} \begin{bmatrix} \delta\alpha_{b_k} \\ \delta\theta_{b_k} \\ \delta\beta_{b_k} \\ \delta\mathbf{b}_k^a \\ \delta\mathbf{b}_k^g \end{bmatrix}_{15 \times 1} + \mathbf{V} \begin{bmatrix} \mathbf{n}_k^a \\ \mathbf{n}_k^g \\ \mathbf{n}_{k+1}^a \\ \mathbf{n}_{k+1}^g \\ \mathbf{n}_{b_k}^a \\ \mathbf{n}_{b_k}^g \end{bmatrix}_{18 \times 1} \quad (15)$$

\mathbf{F} , \mathbf{V} 为两个时刻间的协方差传递矩阵，我们直接给出具体形式，省略推导过程为：

$$\mathbf{F} = \begin{bmatrix} \mathbf{I} & \mathbf{f}_{12} & \mathbf{I}\delta t & -\frac{1}{4}(\mathbf{q}_{b_k}^{b_i} + \mathbf{q}_{b_{k+1}}^{b_i})\delta t^2 & \mathbf{f}_{15} \\ \mathbf{0} & \mathbf{I} - [\omega]_{\times} & \mathbf{0} & \mathbf{0} & -\mathbf{I}\delta t \\ \mathbf{0} & \mathbf{f}_{32} & \mathbf{I} & -\frac{1}{2}(\mathbf{q}_{b_k}^{b_i} + \mathbf{q}_{b_{k+1}}^{b_i})\delta t & \mathbf{f}_{35} \\ \mathbf{0} & \mathbf{0} & \mathbf{0} & \mathbf{I} & \mathbf{0} \\ \mathbf{0} & \mathbf{0} & \mathbf{0} & \mathbf{0} & \mathbf{I} \end{bmatrix}_{15 \times 15} \quad (16)$$

$$\mathbf{V} = \begin{bmatrix} \frac{1}{4}\mathbf{q}_{b_k}^{b_i}\delta t^2 & \mathbf{v}_{12} & \frac{1}{4}\mathbf{q}_{b_{k+1}}^{b_i}\delta t^2 & \mathbf{v}_{14} & \mathbf{0} & \mathbf{0} \\ \mathbf{0} & \frac{1}{2}\mathbf{I}\delta t & \mathbf{0} & \frac{1}{2}\mathbf{I}\delta t & \mathbf{0} & \mathbf{0} \\ \frac{1}{2}\mathbf{q}_{b_k}^{b_i}\delta t & \mathbf{v}_{32} & \frac{1}{2}\mathbf{q}_{b_{k+1}}^{b_i}\delta t & \mathbf{v}_{34} & \mathbf{0} & \mathbf{0} \\ \mathbf{0} & \mathbf{0} & \mathbf{0} & \mathbf{0} & \mathbf{I}\delta t & \mathbf{0} \\ \mathbf{0} & \mathbf{0} & \mathbf{0} & \mathbf{0} & \mathbf{0} & \mathbf{I}\delta t \end{bmatrix}_{15 \times 18} \quad (17)$$

其中：

$$\mathbf{f}_{12} = \frac{\partial\alpha_{b_{k+1}}^{b_i}}{\partial\delta\theta_{b_k}} = -\frac{1}{4}(\mathbf{q}_{b_k}^{b_i} [a^{b_k} - b_k^a]_{\times} \delta t^2 + \mathbf{q}_{b_{k+1}}^{b_i} [a^{b_{k+1}} - b_k^a]_{\times} (\mathbf{I} - [\omega]_{\times} \delta t) \delta t^2)$$


$$\mathbf{f}_{32} = \frac{\partial\beta_{b_{k+1}}^{b_i}}{\partial\delta\theta_{b_k}} = -\frac{1}{2}(\mathbf{q}_{b_k}^{b_i} [a^{b_k} - b_k^a]_{\times} \delta t + \mathbf{q}_{b_{k+1}}^{b_i} [a^{b_{k+1}} - b_k^a]_{\times} (\mathbf{I} - [\omega]_{\times} \delta t) \delta t)$$

$$\mathbf{f}_{15} = \frac{\partial\alpha_{b_{k+1}}^{b_i}}{\partial\delta\mathbf{b}_k^g} = -\frac{1}{4}(\mathbf{q}_{b_{k+1}}^{b_i} [a^{b_{k+1}} - b_k^a]_{\times} \delta t^2)(-\delta t)$$

$$\mathbf{f}_{35} = \frac{\partial\beta_{b_{k+1}}^{b_i}}{\partial\delta\mathbf{b}_k^g} = -\frac{1}{2}(\mathbf{q}_{b_{k+1}}^{b_i} [a^{b_{k+1}} - b_k^a]_{\times} \delta t)(-\delta t)$$

$$\mathbf{v}_{12} = \frac{\partial\alpha_{b_{k+1}}^{b_i}}{\partial\mathbf{n}_k^g} = \mathbf{v}_{14} = \frac{\partial\alpha_{b_{k+1}}^{b_i}}{\partial\mathbf{n}_{k+1}^g} = -\frac{1}{4}(\mathbf{q}_{b_{k+1}}^{b_i} [a^{b_{k+1}} - b_k^a]_{\times} \delta t^2)(\frac{1}{2}\delta t)$$

$$\mathbf{v}_{32} = \frac{\partial\beta_{b_{k+1}}^{b_i}}{\partial\mathbf{n}_k^g} = \mathbf{v}_{34} = \frac{\partial\beta_{b_{k+1}}^{b_i}}{\partial\mathbf{n}_{k+1}^g} = -\frac{1}{2}(\mathbf{q}_{b_{k+1}}^{b_i} [a^{b_{k+1}} - b_k^a]_{\times} \delta t^2)(\frac{1}{2}\delta t)$$

 计算机视觉life

下对应代码在integration_base.h文件的midPointIntegration()，

F:

```
MatrixXd F = MatrixXd::Zero(15, 15);
F.block<3, 3>(0, 0) = Matrix3d::Identity();
F.block<3, 3>(0, 3) = -0.25 * delta_q.toRotationMatrix() * R_a_0_x * _dt * _dt +
    -0.25 * result_delta_q.toRotationMatrix() * R_a_1_x *
    (Matrix3d::Identity() - R_w_x * _dt) * _dt * _dt;
F.block<3, 3>(0, 6) = MatrixXd::Identity(3,3) * _dt;
```

```

F.block<3, 3>(0, 9) = -0.25 * (delta_q.toRotationMatrix() +
    result_delta_q.toRotationMatrix()) * _dt * _dt;
F.block<3, 3>(0, 12) = -0.25 * result_delta_q.toRotationMatrix() * R_a_1_x * _dt * _dt *
    _dt;
F.block<3, 3>(3, 3) = Matrix3d::Identity() - R_w_x * _dt;
F.block<3, 3>(3, 12) = -1.0 * MatrixXd::Identity(3,3) * _dt;
F.block<3, 3>(6, 3) = -0.5 * delta_q.toRotationMatrix() * R_a_0_x * _dt +
    -0.5 * result_delta_q.toRotationMatrix() * R_a_1_x *
    (Matrix3d::Identity() - R_w_x * _dt) * _dt;
F.block<3, 3>(6, 6) = Matrix3d::Identity();
F.block<3, 3>(6, 9) = -0.5 * (delta_q.toRotationMatrix() +
    result_delta_q.toRotationMatrix()) * _dt;
F.block<3, 3>(6, 12) = -0.5 * result_delta_q.toRotationMatrix() * R_a_1_x * _dt * -_dt;
F.block<3, 3>(9, 9) = Matrix3d::Identity();
F.block<3, 3>(12, 12) = Matrix3d::Identity();

```

(左右滑动试试)

V:

```

MatrixXd V = MatrixXd::Zero(15,18);
V.block<3, 3>(0, 0) = 0.25 * delta_q.toRotationMatrix() * _dt * _dt;
V.block<3, 3>(0, 3) = 0.25 * -result_delta_q.toRotationMatrix() * R_a_1_x * _dt * _dt
    0.5 * _dt;
V.block<3, 3>(0, 6) = 0.25 * result_delta_q.toRotationMatrix() * _dt * _dt;
V.block<3, 3>(0, 9) = V.block<3, 3>(0, 3);
V.block<3, 3>(3, 3) = 0.5 * MatrixXd::Identity(3,3) * _dt;
V.block<3, 3>(3, 9) = 0.5 * MatrixXd::Identity(3,3) * _dt;
V.block<3, 3>(6, 0) = 0.5 * delta_q.toRotationMatrix() * _dt;
V.block<3, 3>(6, 3) = 0.5 * -result_delta_q.toRotationMatrix() * R_a_1_x * _dt * 0.5 *
    _dt;
V.block<3, 3>(6, 6) = 0.5 * result_delta_q.toRotationMatrix() * _dt;
V.block<3, 3>(6, 9) = V.block<3, 3>(6, 3);
V.block<3, 3>(9, 12) = MatrixXd::Identity(3,3) * _dt;
V.block<3, 3>(12, 15) = MatrixXd::Identity(3,3) * _dt;

```

(左右滑动试试)

离散形式的 PVQ 增量误差的 Jacobian 和协方差

将公式(15) 简写为：

$$\delta \mathbf{z}_{k+1} = \mathbf{F} \delta \mathbf{z}_k + \mathbf{V} \mathbf{Q} \quad (18)$$

那么Jacobian和协防差的迭代公式为：

$$\begin{aligned} J_{k+1} &= \mathbf{F} J_k \\ P_{k+1} &= \mathbf{F} P_k \mathbf{F}^T + \mathbf{V} \mathbf{Q} \mathbf{V}^T \end{aligned} \quad (19)$$

其中 \mathbf{Q} 表示噪声项的对角协方差矩阵，由于假设各个分量相互独立，所以 \mathbf{Q} 为对角阵：

$$\mathbf{Q} = \begin{bmatrix} \sigma_{a_k}^2 & 0 & 0 & 0 & 0 & 0 \\ 0 & \sigma_{g_k}^2 & 0 & 0 & 0 & 0 \\ 0 & 0 & \sigma_{a_{k+1}}^2 & 0 & 0 & 0 \\ 0 & 0 & 0 & \sigma_{g_{k+1}}^2 & 0 & 0 \\ 0 & 0 & 0 & 0 & \sigma_{b_k^a}^2 & 0 \\ 0 & 0 & 0 & 0 & 0 & \sigma_{b_k^g}^2 \end{bmatrix} \quad (20)$$

计算机视觉life

对应代码在integration_base.h文件的midPointIntegration()：

```
jacobian = F * jacobian;
covariance = F * covariance * F.transpose() + V * noise * V.transpose();
```

有了公式(19)，同时知道了Jacobian初值 $J_k = \mathbf{I}$ 和协方差的初值 $P_k = 0$ ，我们就可以通过迭代求出后续时刻的Jacobian和协方差，而之所以要迭代求解Jacobian，是为了给后面提供给对 bias 的近似计算。

现在再回过头来看公式(14)，可以知道预积分的值是与bias相关的，而 bias 也是我们需要优化的变量，这将导致的问题是，当每次迭代时，我们得到一个新的 bias，又得根据公式(14)重新对第 k 帧和第 $k + 1$ 帧之间的 IMU 预积分，为避免重复积分增加计算消耗，我们假设预积分的变化量与 bias 是线性关系，所以对于预积分量直接在 $k + 1$ 时刻的 bias 附近用一阶泰勒展开来近似：

$$\begin{aligned} \alpha_{b_{k+1}}^{b_k} &= \hat{\alpha}_{b_{k+1}}^{b_k} + J_{b_k^a}^{\alpha} \delta \mathbf{b}_k^a + J_{b_k^g}^{\alpha} \delta \mathbf{b}_k^g \\ \beta_{b_{k+1}}^{b_k} &= \hat{\beta}_{b_{k+1}}^{b_k} + J_{b_k^a}^{\beta} \delta \mathbf{b}_k^a + J_{b_k^g}^{\beta} \delta \mathbf{b}_k^g \\ \mathbf{q}_{b_{k+1}}^{b_k} &= \hat{\mathbf{q}}_{b_{k+1}}^{b_k} \otimes \begin{bmatrix} 1 \\ \frac{1}{2} J_{b_k^g}^q \delta \mathbf{b}_k^g \end{bmatrix} \end{aligned} \quad (21)$$

其中 $J_{b_k^a}^{\alpha} = \frac{\partial \alpha_{b_{k+1}}^{b_k}}{\partial \delta \mathbf{b}_k^a}$, $J_{b_k^g}^{\alpha} = \frac{\partial \alpha_{b_{k+1}}^{b_k}}{\partial \delta \mathbf{b}_k^g}$, $J_{b_k^a}^{\beta} = \frac{\partial \beta_{b_{k+1}}^{b_k}}{\partial \delta \mathbf{b}_k^a}$, $J_{b_k^g}^{\beta} = \frac{\partial \beta_{b_{k+1}}^{b_k}}{\partial \delta \mathbf{b}_k^g}$, $J_{b_k^g}^q = \frac{\partial \mathbf{q}_{b_{k+1}}^{b_k}}{\partial \delta \mathbf{b}_k^g}$ 表示预积分量对 k 时刻的 bias 求导。当对加速度计偏置和陀螺仪的偏置发生(微小)改变时,就可以根据公式(21)对预积分项进行修正,避免了重复积分。

计算机视觉life